

# Влияние модели сопротивления качению на переворот волчка Томсона

А. А. Килин, Е. Н. Пивоварова

## Аннотация

Работа посвящена анализу влияния модели трения на переворот волчка Томсона, когда суммарное действие всех диссипативных сил описывается не только силой, приложенной в точке контакта, но и дополнительным моментом сопротивления качению. В работе показано, что в зависимости от выбранной модели трения в системе могут сохраняться различные первые интегралы. В частности, мы приводим примеры моделей трения, при которых сохраняется либо интеграл Джеллета, либо интеграл Лагранжа, либо интеграл площадей.

Подробно исследован случай, когда действие диссипативных сил сводится только к горизонтальному моменту сопротивления качению. Для этого случая в работе найдены перманентные вращения и проанализирована их устойчивость в линейном приближении. Показано, что при выбранной модели трения переворота волчка не наблюдается.

## Введение

Данная работа посвящена анализу динамики волчка Томсона на гладкой плоскости при наличии сил и моментов сопротивления качению. Изучение переворота волчка Томсона привлекает внимание исследователей уже не один десяток лет [1–12]. В работе [1] обсуждается создание сферического прототипа волчка, способного за счет изменения массо-геометрических характеристик реализовывать различные режимы движения (в частности, полный и частичный переворот). Множество работ как прошлого века [2–7], так и совсем недавних [8–12] посвящено математическому обоснованию переворота, в которых исследована устойчивость стационарных (бездиссипативных) решений, проанализированы значения параметров и указаны случаи, когда переворот волчка возможен.

Проведение подробного анализа динамики осесимметричного волчка возможно благодаря наличию в системе интеграла Джеллета. Джеллет в своем “Трактате по теории трения” [13] указал, что некоторая величина (названная впоследствии его именем) в задаче о движении тела вращения по плоскости сохраняется при добавлении произвольной силы трения, приложенной в точке контакта. Существуют различные обобщения и аналоги интеграла Джеллета. В частности, можно здесь указать интеграл Чаплыгина [21, 22] для неголономных систем, существование которого он установил при рассмотрении наиболее общих механических систем, обладающих интегралами, линейными по угловым скоростям.

В большинстве работ по исследованию динамики волчка Томсона используется классическая модель трения скольжения, пропорциональная скорости точки контакта волчка с плоскостью. Тем не менее, в последнее время часто предлагаются различные модели трения для более точного описания динамики системы не только качественно, но и количественно. Так в работе [18] авторы проводят сравнительный анализ различных наиболее используемых в исследованиях моделей трения. В [20] предложена модель вязкого трения качения, достаточно точно описывающая качение сферических тел по горизонтальной плоскости. Эта модель трения также качественно объясняет некоторые динамические эффекты, в частности попятное качение диска на его финальной стадии движения [19].

В данной работе мы ставим вопрос о влиянии модели трения на переворот волчка Томсона. В частности, мы рассматриваем ситуацию, когда суммарное действие всех диссипативных сил описывается не только силой, приложенной в точке контакта, но и дополнительным моментом сопротивления качению. Оказывается в зависимости от выбранной модели трения в системе могут сохраняться разные первые интегралы: интеграл Джеллета, интеграл Лагранжа или интеграл площадей.

Также в рамках данной работы мы проводим качественный анализ динамики волчка в случае, когда действие диссипативных сил сводится только к горизонтальному моменту сопротивления качению. В работе показано, что в данной модели трения переворота волчка не наблюдается.

# 1 Уравнения движения и законы сохранения

## 1.1 Постановка задачи

Рассмотрим качение с проскальзыванием тяжелого неуравновешенного шара радиуса  $R$  и массы  $m$  с осесимметричным распределением масс по горизонтальной плоскости под действием силы тяжести (рис. 1). На систему действуют силы сопротивления различной природы, которые обусловлены типом покрытия соприкасающихся поверхностей, сопротивлением воздуха и т.п. В общем случае эта система сил, как известно, сводится к равнодействующей  $\mathbf{F}$  и моменту сил сопротивления  $\mathbf{M}_f$ . Мы будем полагать, что в данном случае движение шара подчинено следующим предположениям

- шар касается поверхности в одной точке  $P$ ;
- равнодействующая сил сопротивления  $\mathbf{F}$  приложена к точке контакта;
- на шар действует главный момент (torque) сопротивления качению  $\mathbf{M}_f$ , который включает в себя момент силы  $\mathbf{r} \times \mathbf{F}$ , но в общем случае может не быть ему равным.

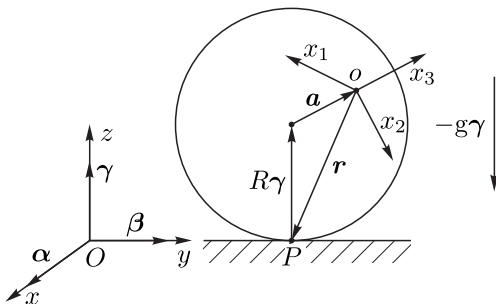


Рис. 1

Для описания движения шара введем две системы координат:

- неподвижную (инерциальную) систему координат  $Oxyz$ , начало координат которой принадлежит опорной плоскости, а ось  $Oz$  направлена вертикально вверх.
- подвижную систему координат  $ox_1x_2x_3$ , жестко связанную с шаром, начало которой совпадает с центром масс системы, а ось  $ox_3$  направлена вдоль оси симметрии шара.

Далее, если не оговорено иное, все векторы будем записывать в проекции на подвижные оси  $ox_1x_2x_3$ .

Будем полагать, что центр масс системы смещен относительно геометрического центра шара вдоль оси его симметрии на расстояние  $a$  и задается вектором  $\mathbf{a} = (0, 0, a)$ .

Обозначим проекции единичных векторов, направленных вдоль неподвижных осей  $Oxyz$ , на оси подвижной системы координат  $ox_1x_2x_3$  следующим образом

$$\boldsymbol{\alpha} = (\alpha_1, \alpha_2, \alpha_3), \quad \boldsymbol{\beta} = (\beta_1, \beta_2, \beta_3), \quad \boldsymbol{\gamma} = (\gamma_1, \gamma_2, \gamma_3).$$

Ортогональная матрица  $\mathbf{Q} \in SO(3)$ , столбцы которой составляют координаты векторов  $\boldsymbol{\alpha}, \boldsymbol{\beta}, \boldsymbol{\gamma}$ , задает ориентацию тела в пространстве.

*Замечание.* По определению векторы  $\boldsymbol{\alpha}, \boldsymbol{\beta}, \boldsymbol{\gamma}$  удовлетворяют соотношениям

$$\begin{aligned} (\boldsymbol{\alpha}, \boldsymbol{\alpha}) &= 1, & (\boldsymbol{\beta}, \boldsymbol{\beta}) &= 1, & (\boldsymbol{\gamma}, \boldsymbol{\gamma}) &= 1, \\ (\boldsymbol{\alpha}, \boldsymbol{\beta}) &= 0, & (\boldsymbol{\beta}, \boldsymbol{\gamma}) &= 0, & (\boldsymbol{\gamma}, \boldsymbol{\alpha}) &= 0. \end{aligned}$$

Пусть  $\mathbf{v}$  — скорость центра масс шара, а  $\boldsymbol{\omega}$  — его угловая скорость, заданные в системе координат  $ox_1x_2x_3$ , тогда эволюция ориентации и положения шара задается кинематическими соотношениями

$$\begin{aligned} \dot{\boldsymbol{\gamma}} &= \boldsymbol{\gamma} \times \boldsymbol{\omega}, & \dot{\boldsymbol{\alpha}} &= \boldsymbol{\alpha} \times \boldsymbol{\omega}, & \dot{\boldsymbol{\beta}} &= \boldsymbol{\beta} \times \boldsymbol{\omega}, \\ \dot{x} &= (\mathbf{v}, \boldsymbol{\alpha}), & \dot{y} &= (\mathbf{v}, \boldsymbol{\beta}), \end{aligned} \tag{1}$$

где  $x, y$  — координаты центра масс  $C$  шара в неподвижной системе  $Oxyz$ . Координата  $z$  центра масс однозначно определяется из условия безотрывного движения шара

$$z + (\mathbf{r}, \boldsymbol{\gamma}) = 0, \tag{2}$$

где радиус-вектор точки контакта  $\mathbf{r}$  в осях  $ox_1x_2x_3$  может быть представлен в виде

$$\mathbf{r} = -R\boldsymbol{\gamma} - \mathbf{a}. \tag{3}$$

## 1.2 Уравнения движения

Дифференцируя уравнение (2) с учетом соотношений (3) и  $\dot{z} = (\mathbf{v}, \boldsymbol{\gamma})$ , получим уравнение (голономной) связи в форме

$$f = (\mathbf{v} + \boldsymbol{\omega} \times \mathbf{r}, \boldsymbol{\gamma}) = (\mathbf{v}_p, \boldsymbol{\gamma}) = 0, \quad (4)$$

где  $\mathbf{v}_p$  — скорость шара в точке контакта с плоскостью.

Запишем уравнения Ньютона–Эйлера для изменения импульса и углового момента шара в форме

$$\begin{aligned} m\dot{\mathbf{v}} + m\boldsymbol{\omega} \times \mathbf{v} &= N \frac{\partial f}{\partial \mathbf{v}} + \mathbf{F} - mg\boldsymbol{\gamma}, \\ \mathbf{I}\dot{\boldsymbol{\omega}} + \boldsymbol{\omega} \times \mathbf{I}\boldsymbol{\omega} &= N \frac{\partial f}{\partial \boldsymbol{\omega}} + \mathbf{M}_f, \end{aligned} \quad (5)$$

где  $\mathbf{I} = \text{diag}(i_1, i_1, i_3)$  — центральный тензор инерции шара,  $g$  — ускорение свободного падения,  $\mathbf{F}$  — сила трения, приложенная в точке контакта,  $\mathbf{M}_f$  — момент сопротивления качению,  $N \frac{\partial f}{\partial \mathbf{v}}$  и  $N \frac{\partial f}{\partial \boldsymbol{\omega}}$  — сила и момент силы реакции опорной плоскости.

Выразим  $N$  из первого уравнения (5) и производной уравнения связи (4) по времени  $\frac{df}{dt} = 0$

$$N = m(\mathbf{v}, \boldsymbol{\gamma})' - (\mathbf{F}, \boldsymbol{\gamma}) + mg. \quad (6)$$

Если поверхности шара и плоскости однородные (но не обязательно изотропные), то сила  $\mathbf{F}$  и момент сил  $\mathbf{M}_f$  зависят только от переменных  $(\mathbf{v}, \boldsymbol{\omega}, \boldsymbol{\gamma})$ . В этом случае система уравнений, описывающих изменение переменных  $(\mathbf{v}, \boldsymbol{\omega}, \boldsymbol{\gamma})$ , замыкается и принимает вид

$$\begin{aligned} m\dot{\mathbf{v}} + \boldsymbol{\omega} \times m\mathbf{v} + m(\boldsymbol{\omega}, \mathbf{r} \times \boldsymbol{\gamma})' \boldsymbol{\gamma} &= \mathbf{F}_{\parallel}, \\ \mathbf{J}\dot{\boldsymbol{\omega}} + \boldsymbol{\omega} \times \mathbf{I}\boldsymbol{\omega} + m((\boldsymbol{\omega}, (\mathbf{r} \times \boldsymbol{\gamma})') - g)\mathbf{r} \times \boldsymbol{\gamma} &= \mathbf{M}_f - \mathbf{r} \times \mathbf{F}_{\perp}, \\ \dot{\boldsymbol{\gamma}} + \boldsymbol{\omega} \times \boldsymbol{\gamma} &= 0, \end{aligned} \quad (7)$$

где  $\mathbf{J} = \mathbf{I} + m(\mathbf{r} \times \boldsymbol{\gamma}) \otimes (\mathbf{r} \times \boldsymbol{\gamma})^{\text{1)}$ ,  $\mathbf{F}_{\parallel} = \mathbf{F} - (\mathbf{F}, \boldsymbol{\gamma})\boldsymbol{\gamma}$  — горизонтальная составляющая силы  $\mathbf{F}$ ,  $\mathbf{F}_{\perp} = (\mathbf{F}, \boldsymbol{\gamma})\boldsymbol{\gamma}$  — ее вертикальная составляющая.

Кроме того, эти уравнения необходимо ограничить на подмногообразии, задаваемое уравнением связи (4) и геометрическим соотношением

$$(\mathbf{v} + \boldsymbol{\omega} \times \mathbf{r}, \boldsymbol{\gamma}) = 0, \quad \boldsymbol{\gamma}^2 = 1. \quad (8)$$

<sup>1)</sup> символ  $\otimes$  означает тензорное умножение векторов, которое паре векторов  $\mathbf{a}, \mathbf{b}$  сопоставляет матрицу  $\mathbf{A}$  с компонентами  $A_{i,j} = a_i b_j$ .

Поскольку эти функции являются первыми интегралами системы (7), это ограничение выполняется однозначно.

*Замечание.* В принципе, можно можно рассматривать траектории системы (7) на других уровнях интегралов (8), но они не имеют явной физической интерпретации.

Таким образом, уравнения (1), (7) полностью описывают движение волчка на гладкой плоскости с трением.

### 1.3 Законы сопротивления и случаи существования дополнительных интегралов

В случае качения по *абсолютно гладкой плоскости* ( $\mathbf{F} = 0$ ,  $\mathbf{M}_f = 0$ ) система (7) помимо интегралов (8) допускает еще три интеграла движения:

– интеграл энергии

$$\mathcal{E} = \frac{1}{2}(\boldsymbol{\omega}, \mathbf{I}\boldsymbol{\omega}) + \frac{1}{2}m(\mathbf{v}, \mathbf{v}) + mga\gamma_3, \quad (9)$$

– интеграл Лагранжа

$$F = i_3\omega_3, \quad (10)$$

– интеграл Джеллета

$$G = -(\mathbf{J}\boldsymbol{\omega}, \mathbf{r}). \quad (11)$$

Также сохраняется интеграл площадей, который в данном случае представляет собой линейную комбинацию интегралов (10) и (11)

$$C = (\mathbf{J}\boldsymbol{\omega}, \boldsymbol{\gamma}) = (\mathbf{I}\boldsymbol{\omega}, \boldsymbol{\gamma}) = \frac{1}{R}(G - aF). \quad (12)$$

При наличии сил сопротивления качению энергия (9) не сохраняется, а ее эволюция описывается следующим уравнением

$$\dot{\mathcal{E}} = (\mathbf{F}, \mathbf{v}) + (\mathbf{M}_f, \boldsymbol{\omega}).$$

В случае диссипативных сил  $\mathbf{F}$  и моментов сил  $\mathbf{M}_f$  для всех возможных значений переменных  $\mathbf{v}$ ,  $\boldsymbol{\omega}$ ,  $\boldsymbol{\gamma}$  выполнено неравенство

$$\dot{\mathcal{E}} \leq 0.$$

При произвольной зависимости силы  $\mathbf{F}$  и момента сил  $\mathbf{M}_f$  от фазовых переменных интегралы (10) и (11) также исчезают (vanish?). Тем не менее существует несколько частных случаев, когда один из них (или их комбинация) сохраняется.

**Предложение.** Система (7), описывающая качение шара с осесимметричным распределением масс по плоскости, допускает дополнительный линейный по  $\boldsymbol{\omega}$  интеграл движения при произвольной силе сопротивления качению  $\mathbf{F}$  и следующих ограничениях на момент сопротивления качению  $\mathbf{M}_f$ :

1°. если  $(\mathbf{M}_f, \mathbf{r}) = 0$ , то сохраняется интеграл Джемелета

$$G = -(\mathbf{J}\boldsymbol{\omega}, \mathbf{r}) = \text{const};$$

2°. если  $(\mathbf{M}_f, \mathbf{e}_3) = 0$ , то сохраняется интеграл Лагранжа

$$F = i_3\omega_3 = \text{const};$$

3°. если  $(\mathbf{M}_f, \boldsymbol{\gamma}) = 0$ , то сохраняется интеграл площадей

$$C = (\mathbf{J}\boldsymbol{\omega}, \boldsymbol{\gamma}) = \text{const}.$$

Напомним, что момент сопротивления качению  $\mathbf{M}_f$  включает в себя момент силы  $\mathbf{r} \times \mathbf{F}$ , но в общем случае с ним не совпадает.

*Замечание.* В случае выполнения двух любых условий Предложения сохраняются все три первых интеграла  $G, F, C$ . Это связано с линейной зависимостью условий, следующей из соотношения (3).

Первый случай широко описан в литературе, в то время как случаи 2° и 3° ранее не отмечались. Приведем далее несколько примеров законов сопротивления, при которых система (7) допускает дополнительный интеграл.

1°.  $(\mathbf{M}_f, \mathbf{r}) = 0$ . Наиболее часто используемый частный случай этой ситуации

$$\mathbf{M}_f = \mathbf{r} \times \mathbf{F},$$

то есть силы сопротивления сводятся к единственной силе трения, приложенной в точке контакта. При этом обычно рассматривается модель вязкого или сухого трения, для которых сила трения задается соотношениями:

$$\mathbf{F}_v = -\mu\mathbf{v}_p, \quad \mathbf{F}_d = -\mu N \frac{\mathbf{v}_p}{|\mathbf{v}_p|}, \quad (13)$$

где  $\mathbf{v}_p$  — скорость тела в точке контакта,  $N$  — сила реакции опоры,  $\mu$  — коэффициент трения. Модель вязкого трения чаще всего используется для объяснения переворота волчка Томсона [1–5, 9–12], а также применяется при исследовании движения и объяснении динамических эффектов многих других механических систем, например, подъема вращающегося яйца (Jellett's (spinning) egg) [14, 15].

*Замечание.* В качестве еще одного примера такого момента трения, удовлетворяющего условию диссипативности вводимых сил (невозрастания энергии) можно привести следующую модель

$$\mathbf{F} = -\mu\boldsymbol{\omega} \times \mathbf{r}, \quad \mathbf{M}_f = -\mu\mathbf{r} \times (\boldsymbol{\omega} \times \mathbf{r}). \quad (14)$$

2°.  $(M_f, e_3) = 0$  — анизотропное трение, для которого проекция полного момента сил сопротивления качению на ось симметрии тела  $e_3 = (0, 0, 1)$  равна нулю.

В качестве наиболее простого примера можно привести следующую модель вязкого анизотропного трения

$$F = 0, \quad M_f = -\mu e_3 \times (\omega \times e_3). \quad (15)$$

Физически такая модель может быть реализована, если тело покрыто каким-нибудь специальным материалом или состоит из роликов так, что в одном направлении тело может свободно проскальзывать (свободно вращаться вокруг оси симметрии), а в другом направлении возникает сопротивление. Подобного рода трение реализуется в омниколесах, поэтому данный случай можно назвать омнишар.

*Замечание.* Предварительные исследования показали, что при использовании модели трения вида (15), в которой сохраняется угловая скорость вращения шара относительно оси симметрии, переворота волчка Томсона не наблюдается.

3°.  $(M_f, \gamma) = 0$ , то есть проекция полного момента сил сопротивления качению на вертикаль равна нулю. Другими словами, отсутствует сопротивление верчению (прокручиванию) шара.

В данной работе мы рассмотрим наиболее простую модель трения данного вида

$$F = 0, \quad M_f = -\mu_r \omega_{\perp}, \quad (16)$$

где  $\omega_{\perp} = \omega - (\omega, \gamma)\gamma$  — горизонтальная составляющая угловой скорости, а  $\mu_r$  — коэффициент трения качения. Физически такая модель описывает, например, случай быстрого качения шара с проскальзыванием между двумя горизонтальными плоскостями при наличии сухого трения. При этом сумма сил сопротивления равняется нулю, но остается ненулевой момент сил сопротивления качению  $M_f$ .

Такая модель является наиболее естественной после модели (13). Ее исследование интересно с точки зрения анализа возможности переворота волчка и сравнения результатов с известными моделями.

В данной работе мы сосредоточимся на исследовании динамики волчка именно в рамках данной модели сопротивления и покажем, что при этом волчок Томсона не переворачивается при быстрых вращениях.

*Замечание.* Условию  $(M_f, \gamma) = 0$  удовлетворяют также центральные силы сопротивления, например, сила сопротивления воздуха. В выбранных обозначениях это соответствует движению под действием про-

извольной центральной силы  $\mathbf{F}$  и нулевого момента сил сопротивления качению  $\mathbf{M}_f = 0$ . Следовательно, интеграл  $C$  в этом случае также сохраняется. Однако, этот случай хотя и приводит к сохранению интеграла площадей, тем не менее не удовлетворяет первоначальному предположению о том, что сила приложена в точке контакта и мы его упомянули лишь для иллюстрации указанного закона сопротивления.

При доказательстве п. 3° Предложения условия осесимметричности тензора инерции и направления смещения центра масс не используются. Поэтому *интеграл площадей сохраняется и в задаче о качении неуравновешенного динамически несимметричного шара в случае, если проекция полного момента сил сопротивления качению на вертикаль равна нулю.*

Аналогично нетрудно показать, что *в случае  $(\mathbf{M}_f, \mathbf{r}) = 0$  интеграл Дженелета также сохраняется в задаче о качении шара Чаплыгина (уравновешенного динамически несимметричного шара).*

## 2 Редукция уравнений движения

Перейдем к исследованию динамики шара с законом трения (16).

Для дальнейшего анализа уравнений, введем безразмерные переменные в следующем виде

$$t \rightarrow \sqrt{\frac{R}{g}} t, \quad \mathbf{r} \rightarrow R\mathbf{r}, \quad \boldsymbol{\omega} \rightarrow \sqrt{\frac{g}{R}} \boldsymbol{\omega}, \quad \mathbf{I} \rightarrow mR^2\mathbf{I}, \quad \mathbf{a} \rightarrow R\mathbf{a}, \quad \mathcal{E} \rightarrow mgR\mathcal{E}.$$

Такая замена переменных равносильна тому, что

$$m = 1, \quad R = 1, \quad g = 1.$$

В рассматриваемом случае уравнения движения для  $\boldsymbol{\omega}, \boldsymbol{\gamma}$  отделяются от полной системы и имеют вид

$$\begin{aligned} \mathbf{J}\dot{\boldsymbol{\omega}} + \boldsymbol{\omega} \times \mathbf{I}\boldsymbol{\omega} + ((\boldsymbol{\omega}, \mathbf{r} \times (\boldsymbol{\gamma} \times \boldsymbol{\omega})) - 1)\mathbf{r} \times \boldsymbol{\gamma} &= \mu_r \boldsymbol{\gamma} \times (\boldsymbol{\omega} \times \boldsymbol{\gamma}), \\ \dot{\boldsymbol{\gamma}} + \boldsymbol{\omega} \times \boldsymbol{\gamma} &= 0. \end{aligned} \quad (17)$$

Вследствие существования пары интегралов фазовое пространство системы (17) расслаивается на четырехмерные инвариантные подмногообразия

$$\mathcal{M}_C^4 = \{(\boldsymbol{\omega}, \boldsymbol{\gamma}) \mid (\boldsymbol{\gamma}, \boldsymbol{\gamma}) = 1, (\mathbf{J}\boldsymbol{\omega}, \boldsymbol{\gamma}) = C\}.$$

Анализ потока на подмногообразиях  $\mathcal{M}_C^4$  упрощается вследствие существования у системы (17) поля симметрий

$$\hat{\mathbf{u}} = \omega_1 \frac{\partial}{\partial \omega_2} - \omega_2 \frac{\partial}{\partial \omega_1} + \gamma_1 \frac{\partial}{\partial \gamma_2} - \gamma_2 \frac{\partial}{\partial \gamma_1},$$

которое задает вращения вокруг оси симметрии шара  $ox_3$ . Наличие этой симметрии позволяет выполнить редукцию (понизить порядок системы) на инвариантных подмногообразиях  $\mathcal{M}_C^4$ . Для этого поступим следующим образом: выберем переменные  $\gamma_3, K_1, K_2, \varphi$ , параметризующие  $\mathcal{M}_C^4$  так, что три из них являются первыми интегралами поля симметрий [16]:

$$\gamma_3 = \gamma_3, \quad K_1 = i_3 \omega_3, \quad K_2 = \frac{1}{k}(\gamma_1 \omega_2 - \gamma_2 \omega_1), \quad \varphi = \arctan \frac{\gamma_2}{\gamma_1},$$

где  $k = \sqrt{\frac{1-\gamma_3^2}{i_1+a^2(1-\gamma_3^2)}}$ . Обратное преобразование имеет вид

$$\begin{aligned} \gamma_1 &= \sqrt{1-\gamma_3^2} \cos \varphi, \quad \gamma_2 = \sqrt{1-\gamma_3^2} \sin \varphi, \\ \omega_1 &= \frac{(C - \gamma_3 K_1)\gamma_1 - i_1 k K_2 \gamma_2}{i_1(1-\gamma_3^2)}, \quad \omega_2 = \frac{(C - \gamma_3 K_1)\gamma_2 + i_1 k K_2 \gamma_1}{i_1(1-\gamma_3^2)}, \quad \omega_3 = \frac{K_1}{i_3}. \end{aligned}$$

Эволюция новых переменных на уровне  $\mathcal{M}_C^4$  определяется уравнениями

$$\dot{\gamma}_3 = kK_2, \quad \dot{K}_1 = -\frac{\mu_r}{i_1} \left( K_1 \tilde{k} - \gamma_3 C \right), \quad (18)$$

$$\dot{K}_2 = -\frac{k(C - \gamma_3 K_1)(C\gamma_3 - K_1)}{i_1(1 - \gamma_3^2)^2} - ka - \frac{\mu_r K_2 k^2}{1 - \gamma_3^2}, \quad (19)$$

$$\dot{\varphi} = \frac{\dot{\gamma}_1 \gamma_2 - \dot{\gamma}_2 \gamma_1}{\gamma_1^2 + \gamma_2^2} = \frac{K_1}{i_3} - \frac{\gamma_3(C - K_1 \gamma_3)}{i_1(1 - \gamma_3^2)},$$

где введено обозначение  $\tilde{k} = (i_1 - (i_1 - i_3)\gamma_3^2) / i_3$ . Вследствие специального выбора переменных первые три уравнения отделяются и образуют замкнутую редуцированную систему, анализ которой и является предметом нашего дальнейшего исследования.

### 3 Перманентные вращения и их устойчивость

Перманентные вращения рассматриваемой системы соответствуют движению шара с постоянным углом наклона оси симметрии относительно вертикали, то есть при  $\gamma_3 = \text{const}$ . Очевидно, что при таких движениях диссипация должна отсутствовать  $\dot{\mathcal{E}} = 0$ . Перманентные вращения задаются уравнениями

$$\dot{\gamma}_3 = 0, \quad \ddot{\gamma}_3 = 0. \quad (20)$$

Решая уравнения (20), находим следующие частные решения системы

1. Два однопараметрических семейства неподвижных точек

$$\begin{aligned} \sigma_u : \quad \gamma_3 = 1, \quad K_1 = C, \quad K_2 = 0, \\ \sigma_l : \quad \gamma_3 = -1, \quad K_1 = -C, \quad K_2 = 0. \end{aligned} \quad (21)$$

Эти семейства соответствуют вертикальным вращениям шара, когда центр масс находится выше ( $\sigma_u$ ) геометрического центра, или ниже него ( $\sigma_l$ ).

2. Однопараметрическое семейство периодических решений

$$\sigma_0 : \quad \gamma_3 = -\frac{a}{c_1^2(i_1 - i_3)}, \quad K_1 = \frac{ai_3}{c_1(i_1 - i_3)}, \quad K_2 = 0, \quad (22)$$

где  $c_1 \in (-\infty, -c_0) \cup (c_0, \infty)$ ,  $c_0 = \sqrt{a/|i_1 - i_3|}$  — параметр семейства. Это семейство периодических решений соответствует вращениям шара, когда его ось симметрии отклонена от вертикали на угол  $\text{th} = \arccos \gamma_3$ .

Исходные переменные  $\omega, \gamma$  и значение интеграла  $C$  параметризуются через  $c_1$  следующим образом

$$\begin{aligned} \omega_1 = c_1 p \cos \varphi, \quad \omega_2 = c_1 p \sin \varphi, \quad \omega_3 = \frac{a}{c_1(i_1 - i_3)} \\ \gamma_1 = -p \cos \varphi, \quad \gamma_2 = -p \sin \varphi, \quad \gamma_3 = -\frac{a}{c_1^2(i_1 - i_3)}, \\ C = -c_1 i_1 + \frac{a^2}{c_1^3(i_1 - i_3)}, \end{aligned}$$

где  $p = \sqrt{1 - \gamma_3^2}$ .

Используя данную параметризацию и очевидное неравенство  $|\gamma_3| \leq 1$  можно определить критическое значение интеграла  $C$ , при котором рождаются или исчезают перманентные вращения

$$C^* = C|_{c_1=c_0} = \frac{i_3 \sqrt{a}}{\sqrt{|i_1 - i_3|}}.$$

### 3.1 Анализ устойчивости

Проанализируем устойчивость частных решений  $\sigma_u$ ,  $\sigma_l$  в линейном приближении. Данные решения являются семействами неподвижных точек полной системы (17). Для исследования их устойчивости представим систему дифференциальных уравнений (17) в виде

$$\dot{\mathbf{q}} = \mathbf{f}_q(\mathbf{q}),$$

где  $\mathbf{q} = (\omega_1, \omega_2, \omega_3, \gamma_1, \gamma_2, \gamma_3)$ ,  $\mathbf{f}_q(\mathbf{q})$  — вектор, компоненты которого являются функциями  $\mathbf{q}$ . Линеаризуем систему (17) вблизи решений  $\sigma_u$ ,  $\sigma_l$

$$\dot{\tilde{\mathbf{q}}} = \mathbf{L}_q \tilde{\mathbf{q}}, \quad \mathbf{L}_q = \left. \frac{\partial \mathbf{f}_q(\mathbf{q})}{\partial \mathbf{q}} \right|_{\mathbf{q}=\mathbf{q}_{u,l}},$$

где  $\tilde{\mathbf{q}} = \mathbf{q} - \mathbf{q}_{u,l}$ , а  $\mathbf{q}_u$  и  $\mathbf{q}_l$  — частные решения  $\sigma_u$  и  $\sigma_l$  системы (17) соответственно.

Характеристическое уравнение линеаризованной системы

$$\det(\mathbf{L}_q - \lambda \mathbf{E}) = 0$$

с собственными числами  $\lambda$  ( $\mathbf{E}$  — единичная матрица) представляет собой уравнение 6 степени относительно  $\lambda$  вида

$$P_6(\lambda) = \lambda^2 P_4(\lambda) = \lambda^2 (a_0 \lambda^4 + a_1 \lambda^3 + a_2 \lambda^2 + a_3 \lambda + a_4) = 0.$$

Два нулевых собственных числа линеаризованной системы соответствуют геометрическому интегралу  $\gamma^2 = 1$  и интегралу площадей  $C$  (который является параметром семейства).

Для исследования вопроса устойчивости воспользуемся критерием Рауса–Гурвица определения знака действительной части корней алгебраических уравнений.

Как известно [17], действительные части всех корней уравнения отрицательны в случае, когда положительны все диагональные миноры матрицы Гурвица

$$\Delta_1 = a_1, \quad \Delta_2 = a_1 a_2 - a_0 a_3, \quad \Delta_3 = a_3 \Delta_2 - a_1^2 a_4, \quad \Delta_4 = a_4 \Delta_3$$

при условии положительности коэффициента при старшей степени  $a_0 > 0$ .

1. *Частное решение  $\sigma_l$  — нижнее вертикальное вращение.* В переменных  $\mathbf{q}$  это решение параметризуется следующим образом

$$\mathbf{q}_l : \quad \gamma_1 = 0, \quad \gamma_2 = 0, \quad \gamma_3 = -1, \quad \omega_1 = 0, \quad \omega_2 = 0, \quad \omega_3 = \frac{C}{i_3}.$$

Старший коэффициент и диагональные миноры матрицы Гурвица, соответствующей полиному  $P_4(\lambda)$ , имеют вид

$$\begin{aligned} a_0 &= i_1^2, \\ \Delta_1 &= 2i_1\mu_r, \\ \Delta_2 &= 2i_1\mu_r \left( \frac{C^2}{i_3^2} (3i_1^2 - 3i_1i_3 + i_3^2) + ai_1 + \mu_r^2 \right), \\ \Delta_3 &= 4i_1\mu_r^2 \left( \frac{C^2}{i_3^2} (2i_1 - i_3)^2 + \mu_r^2 \right) \left( a - \frac{C^2}{i_3^2} (i_1 - i_3) \right), \\ \Delta_4 &= 4i_1\mu_r^2 \left( \frac{C^2}{i_3^2} (2i_1 - i_3)^2 + \mu_r^2 \right) \left( a - \frac{C^2}{i_3^2} (i_1 - i_3) \right)^3. \end{aligned}$$

Нетрудно убедиться, что при  $\mu_r > 0$  значения  $a_0$ ,  $\Delta_1$ ,  $\Delta_2$  положительны, а значения  $\Delta_3$  и  $\Delta_4$  положительны при выполнении условия

$$\begin{aligned} |C| &< C^* \quad \text{при } i_1 - i_3 > 0, \\ |C| &> -C^* \quad \text{при } i_1 - i_3 < 0. \end{aligned}$$

Таким образом, при  $i_1 < i_3$  нижнее вращение  $\sigma_l$  всегда устойчиво, а при  $i_1 > i_3$  — только при значениях интеграла площадей  $|C| < C^*$ .

2. *Частное решение  $\sigma_u$  — верхнее вертикальное вращение.* В переменных  $\mathbf{q}$  это решение параметризуется следующим образом

$$\mathbf{q}_u : \quad \gamma_1 = 0, \quad \gamma_2 = 0, \quad \gamma_3 = 1, \quad \omega_1 = 0, \quad \omega_2 = 0, \quad \omega_3 = \frac{C}{i_3}.$$

Старший коэффициент и диагональные миноры матрицы Гурвица, со-

ответствующей полиному  $P_4(\lambda)$ , имеют вид

$$\begin{aligned} a_0 &= i_1^2, \\ \Delta_1 &= 2i_1\mu_r, \\ \Delta_2 &= 2i_1\mu_r \left( \frac{C^2}{i_3^2} (3i_1^2 - 3i_1i_3 + i_3^2) - ai_1 + \mu_r^2 \right), \\ \Delta_3 &= -4i_1\mu_r^2 \left( \frac{C^2}{i_3^2} (2i_1 - i_3)^2 + \mu_r^2 \right) \left( a - \frac{C^2}{i_3^2} (i_3 - i_1) \right), \\ \Delta_4 &= -4i_1\mu_r^2 \left( \frac{C^2}{i_3^2} (2i_1 - i_3)^2 + \mu_r^2 \right) \left( a - \frac{C^2}{i_3^2} (i_3 - i_1) \right)^3. \end{aligned}$$

При  $\mu_r > 0$  значения  $a_0$ ,  $\Delta_1$ ,  $\Delta_2$  всегда положительны, а значения  $\Delta_3$  и  $\Delta_4$  положительны при выполнении условия

$$\begin{aligned} |C| &> C^* \quad \text{при } i_3 - i_1 > 0, \\ |C| &< -C^* \quad \text{при } i_3 - i_1 < 0. \end{aligned}$$

Следовательно, при  $i_3 < i_1$  верхнее вращение  $\sigma_u$  всегда неустойчиво, а при  $i_3 > i_1$  устойчиво только при достаточно больших значениях интеграла площадей  $|C| > C^*$ .

3. *Частное решение  $\sigma_0$  — перманентное вращение.* Исследуем далее устойчивость перманентных вращений  $\sigma_0$ . Данные вращения являются периодическими решениям полной системы (17) и соответствуют неподвижным точкам приведенной системы (18).

Для анализа орбитальной устойчивости вращений  $\sigma_0$  проанализируем приведенную систему (18). Для этого представим систему дифференциальных уравнений (18) в следующем виде

$$\dot{\xi} = \mathbf{f}_\xi(\xi), \quad (23)$$

где  $\xi = (\gamma_3, K_1, K_2)$ ,  $\mathbf{f}_\xi(\xi)$  — вектор, компоненты которого являются функциями  $\xi$ . Пусть  $\xi_0$  — частное решение системы (23), соответствующее перманентным вращениям  $\sigma_0$ .

Линеаризуем систему (23) вблизи частного решения  $\xi_0$  и получим систему вида

$$\dot{\tilde{\xi}} = \mathbf{L}_\xi \tilde{\xi}, \quad \mathbf{L}_\xi = \left. \frac{\partial \mathbf{f}_\xi(\xi)}{\partial \xi} \right|_{\xi=\xi_0},$$

где  $\tilde{\xi} = \xi - \xi_0$ ,  $\mathbf{L}_\xi$  — матрица линеаризации.

Характеристическое уравнение линеаризованной системы

$$\det(\mathbf{L}_\xi - \lambda \mathbf{E}) = 0$$

с собственными числами  $\lambda$  представляет собой уравнение 3 степени относительно  $\lambda$

$$P_3(\lambda) = a_0\lambda^3 + a_1\lambda^2 + a_2\lambda + a_3 = 0.$$

Коэффициенты характеристического уравнения имеют вид

$$\begin{aligned} a_0 &= -i_1 i_3 c_2 (i_1 - i_3) (i_1 + a^2 (1 - c_2^2)), \\ a_1 &= -\mu_r c_2 (i_1 - i_3) (i_1 i_3 (1 + c_2^2) + (i_1^2 + i_1 a^2 - a^2 c_2^2 (i_1 - i_3)) (1 - c_2^2)), \\ a_2 &= -\mu_r^2 c_2 (i_1 - i_3) (i_1 - c_2^2 (i_1 - i_3)) + a i_3 (i_1^2 + c_2^2 (i_1 - i_3) (3i_1 + i_3)), \\ a_3 &= a \mu_r (i_1 - i_3) (1 - c_2^2) (i_1 + 3c_2^2 (i_1 - i_3)), \end{aligned}$$

где  $c_2 = -\frac{a}{c_1^2 (i_1 - i_3)}$  — значение  $\gamma_3$  для частного решения  $\sigma_0$  (22).

В соответствии с критерием Рауса–Гурвица условия отрицательности действительных частей корней характеристического уравнения имеют вид

$$a_0 > 0, \quad a_1 > 0, \quad a_1 a_2 - a_0 a_3 > 0, \quad a_3 > 0.$$

Нетрудно показать, что все неравенства будут удовлетворяться при условии  $i_1 > i_3$ .

Таким образом, перманентные вращения  $\sigma_0$  устойчивы только при  $i_1 > i_3$  во всем промежутке их существования.

Результат анализа линейной устойчивости решений (21), (22) при разных значениях  $i_1$  и  $i_3$  приведен на рис. 2. На этом рисунке изображены семейства периодических решений  $\sigma_u$ ,  $\sigma_l$  и  $\sigma_0$  на плоскости  $(C, \gamma_3)$ . Сплошными линиями на этом рисунке изображены устойчивые перманентные решения, а пунктирными — неустойчивые. Как следует из анализа собственных чисел и видно на рисунке, можно выделить три разных случая:

1.  $i_1 > i_3$  (рис. 2а). В этом случае верхнее вертикальное вращение  $\sigma_u$  всегда неустойчиво. Нижнее вертикальное вращение  $\sigma_l$  устойчиво при малых абсолютных значениях интеграла  $|C| < C^*$ . Перманентные вращения  $\sigma_0$  существуют при  $|C| > C^*$  и всегда устойчивы.
2.  $i_1 < i_3$  (рис. 2б). В этом случае нижнее вертикальное вращение  $\sigma_l$  всегда устойчиво. Верхнее вертикальное вращение  $\sigma_u$  устойчиво при достаточно больших абсолютных значениях интеграла  $|C| > C^*$ . Перманентные вращения  $\sigma_0$  существуют при  $|C| > C^*$  и всегда неустойчивы.

3.  $i_3 = i_1$  (рис. 2с). В этом случае верхнее вертикальное вращение  $\sigma_u$  всегда неустойчиво, а нижнее вертикальное вращение  $\sigma_l$  всегда устойчиво. Перманентных вращений в данном случае не существует.

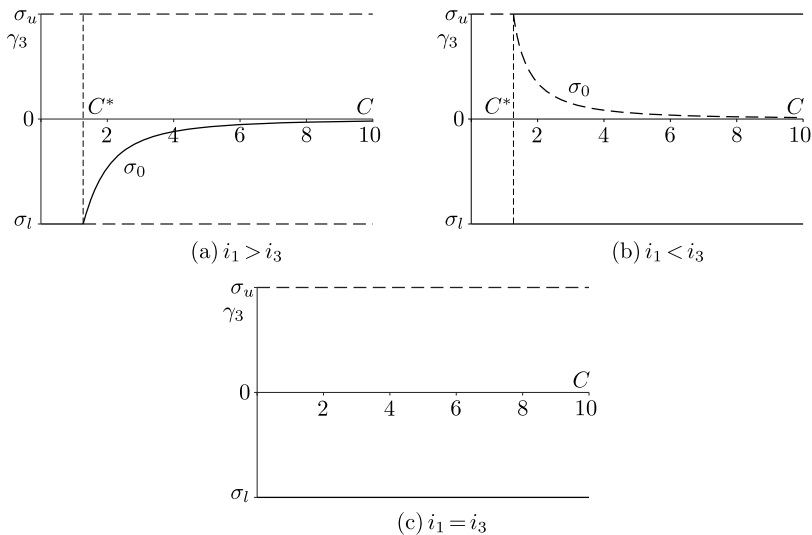


Рис. 2: Устойчивые и неустойчивые вращения волчка в зависимости от  $C$  для разных соотношений  $i_1$  и  $i_3$  при параметрах  $a = 0.29$ ,  $i_3 = 0.51$ ,  $\mu_r = 1$  и (a)  $i_1 = 0.55$ , (b)  $i_1 = 0.46$ , (c)  $i_1 = 0.51$ .

Как видно из рисунка 2 в рассматриваемой модели отсутствует ситуация, когда на фиксированном уровне интеграла  $C$  нижнее вертикальное вращение является неустойчивым, а верхнее — устойчивым. Таким образом, в рассматриваемой модели трения (16) невозможен полный переворот волчка Томсона ни при каких начальных условиях. Как мы увидим далее, это также подтверждается анализом зависимости энергии перманентных вращений от интеграла площадей.

Тем не менее, при  $i_1 < i_3$  возможен частичный переворот, когда при малом отклонении от нижнего вертикального вращения волчок будет стремиться к перманентному вращению с постоянным углом наклона оси. Однако при этом центр масс волчка будет всегда располагаться ниже центра шара. А при увеличении начальной энергии волчка предельный угол наклона волчка будет стремиться к  $\frac{\pi}{2}$  ( $\gamma_3 \rightarrow 0$ ).

## 4 Качественный анализ динамики

Глобальный качественный анализ динамики рассматриваемой системы можно провести, например, с помощью модифицированной теории Рауса по аналогии с исследованием классической модели волчка Томсона [8]. Приведенные выше частные решения, соответствующие перманентным и вертикальным вращениям  $\sigma_0$ ,  $\sigma_u$ ,  $\sigma_l$  можно изобразить на обобщенной диаграмме Смейла на плоскости  $(C^2, \mathcal{E})$ , где значения  $\mathcal{E}$  соответствуют величине начальной энергии системы при заданном значении интеграла  $C$ . Фиксируя на диаграмме уровень интеграла  $C$  и задавая начальный уровень энергии, можно проследить динамику системы при диссипации энергии.

На рисунке 3 изображены диаграммы Смейла, соответствующие разным соотношениям моментов инерции волчка. Сплошные линии на диаграмме соответствуют устойчивым стационарным движениям, пунктирные — неустойчивым. На фиксированном уровне интеграла  $C$  все траектории системы будут стремиться к устойчивым решениям за счет диссипации.

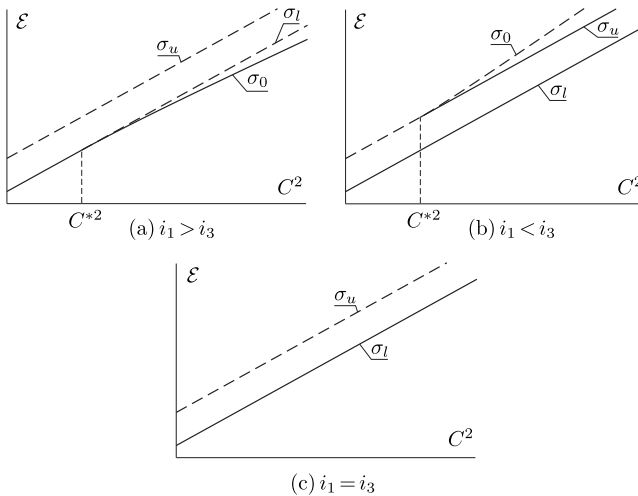


Рис. 3: Обобщенные диаграммы Смейла системы (18) при  $a = 1$ ,  $i_3 = 0.5$  и (a)  $i_1 = 0.6$ , (b)  $i_1 = 0.4$ , (c)  $i_1 = 0.5$ .

Из анализа диаграммы следует, что в зависимости от параметров системы и начальных условий можно наблюдать следующее поведение волчка:

1.  $i_1 > i_3$  (рис. 3а). При значении интеграла  $|C| < C^*$  почти все траектории будут стремиться к нижним вертикальным вращениям  $\sigma_l$ , при  $|C| > C^*$  — к перманентным вращениям  $\sigma_0$ .
2.  $i_1 < i_3$  (рис. 3б). При значении интеграла  $|C| < C^*$  почти все траектории будут стремиться к нижним вертикальным вращениям  $\sigma_l$ . При  $|C| > C^*$  траектории будут стремиться либо к нижним  $\sigma_l$ , либо к верхним  $\sigma_u$  вертикальным вращениям. При этом исследование областей притяжения одного либо другого устойчивого решения является отдельной задачей, выходящей за рамки данной работы. Данная задача может быть решена, например, с помощью построения карт динамических режимов на плоскости начальных условий.
3.  $i_3 = i_1$  (рис. 3с). В этом случае почти все траектории будут стремиться к нижним вертикальным вращениям  $\sigma_l$ .

Таким образом, переворот волчка при рассматриваемом законе сопротивления невозможен.

Проиллюстрируем динамику рассматриваемой системы при помощи построения проекции фазового потока на плоскость  $(K_1, C)$  для случая  $i_1 > i_3$ , когда наблюдается частичный переворот волчка (рис. 4).

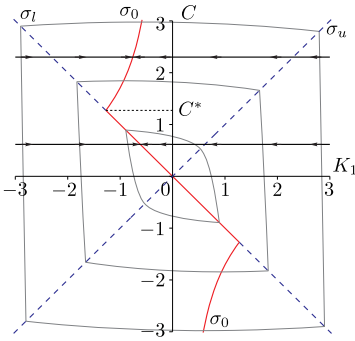


Рис. 4: Проекция фазовых траекторий системы (18) на плоскость  $(K_1, C)$  для случая  $i_1 > i_3$  при параметрах  $a = 0.29$ ,  $i_1 = 0.55$ ,  $i_3 = 0.51$ ,  $\mu_r = 1$ .

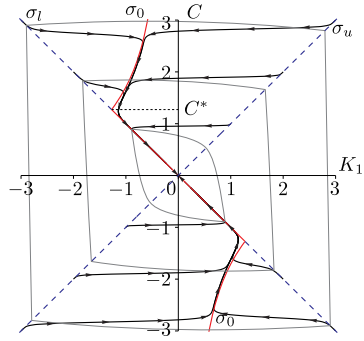


Рис. 5: Проекция фазовых траекторий системы (24) на плоскость  $(K_1, C)$  для случая  $i_1 > i_3$  при параметрах  $a = 0.29$ ,  $i_1 = 0.55$ ,  $i_3 = 0.51$ ,  $\mu_r = 1$ ,  $\mu_s = 0.001$ .

Как и выше, сплошными линиями на рисунке изображены устойчивые решения, пунктирными — неустойчивые. Тонкие сплошные линии

соответствуют уровням постоянной энергии  $\mathcal{E} = \text{const}$ . Стрелками обозначены направления траекторий системы.

Как видно из рисунка, на фиксированном уровне интеграла  $C$  все траектории стремятся к устойчивым решениям (перманентным  $\sigma_0$  или нижним вертикальным  $\sigma_l$  вращениям).

## 4.1 Движение с учетом момента трения верчения

В заключение кратко рассмотрим случай, когда дополнительный интеграл  $C$  перестает существовать, добавив в систему момент трения верчения в виде

$$M_s = -\mu_s(\boldsymbol{\omega}, \boldsymbol{\gamma})\boldsymbol{\gamma},$$

где  $\mu_s$  — коэффициент трения верчения. Будем полагать, что трение верчения существенно меньше трения качения, т.е.  $\mu_s \ll \mu_r$ .

Уравнения движения системы (18) с учетом моментов трения качения и верчения принимают вид

$$\begin{aligned} \dot{\gamma}_3 &= kK_3, \\ \dot{K}_1 &= -\frac{\mu_r}{i_1} \left( K_1 \tilde{k} - \gamma_3 C \right) - \frac{\mu_s \gamma_3}{i_1 i_3} (K_1 \gamma_3 (i_1 - i_3) + C i_3), \\ \dot{K}_2 &= -\frac{k(C - \gamma_3 K_1)(C \gamma_3 - K_1)}{i_1(1 - \gamma_3^2)^2} - ka - \frac{\mu_r K_2 k^2}{1 - \gamma_3^2}, \\ \dot{C} &= -\frac{\mu_s}{i_1 i_3} (K_1 \gamma_3 (i_1 - i_3) + C i_3). \end{aligned} \quad (24)$$

Для примера рассмотрим влияние добавления малого трения верчения на глобальную динамику системы в случае частичного переворота волчка.

В данном случае (при условии  $\mu_s \ll \mu_r$ ) на временах  $t < T_0$  интеграл площадей  $C$  можно считать примерно постоянным. Характерное время  $T_0$  определяется коэффициентом трения  $\mu_r$ . Динамика на временах  $t < T_0$  представляет собой стремление волчка к перманентным вращениям  $\sigma_0$ . При этом происходит частичный переворот (подъем оси симметрии) волчка.

На временах  $t \gg T_0$  происходит адиабатическое изменение значения интеграла  $C$ . Динамика волчка при этом представляет собой медленные движения системы сначала вдоль семейств перманентных вращений  $\sigma_0$  (при  $|C| > C^*$ ), а затем вдоль нижних вертикальных вращений (при  $|C| < C^*$ ). При этом происходит остановка волчка в нижнем положении равновесия.

В качестве иллюстрации приведем проекции фазовых траекторий системы (24) на плоскость  $(K_1, C)$  (рис. 5). Как видно из рисунка, все траектории при начальном  $|C| > C^*$  стремятся к перманентному вращению  $\sigma_0$ , затем идут вдоль этого решения и при  $|C| < C^*$  переходят на решение, соответствующее нижнему вертикальному вращению  $\sigma_l$ . Траектории при начальном  $|C| < C^*$  сразу стремятся к решению  $\sigma_l$ .

## Заключение

В данной работе мы показали, что в зависимости от модели сопротивления качению волчок Томсона при его качении по плоскости может демонстрировать существенно различное поведение.

Мы показали, что в рамках рассмотренной нами модели трения (16) сохраняется интеграл площадей, а переворот волчка невозможен. Предварительные исследования показали, что в модели трения (15), когда сохраняется интеграл Лагранжа, переворот также не наблюдается. Интересно, что в случае сохранения интеграла Джеллета, который является линейной комбинацией интеграла Лагранжа и интеграла площадей, переворот уже наблюдается.

Дальнейшие исследования могут быть направлены на более математически строгую формулировку и доказательство свойств глобальной динамики рассматриваемой системы.

## Список литературы

- [1] M. C. Ciocci, B. Malengier, B. Langerock, and B. Grimonprez, "Towards a Prototype of a Spherical Tippe Top", *Journal of Applied Mathematics*, vol. 2012, Article ID 268537, 34 pages, 2012.
- [2] Cohen, R. J. (1977). The tippe top revisited. *American Journal of Physics*, 45(1), 12-17.
- [3] Or, A. C. (1994). The dynamics of a tippe top. *SIAM Journal on Applied Mathematics*, 54(3), 597-609.
- [4] Pliskin, W. A. (1954). The tippe top (topsy-turvy top). *American Journal of Physics*, 22(1), 28-32.
- [5] O'Brien, S., Synge, J. L. (1953, January). The instability of the tippe-top explained by sliding friction. In *Proceedings of the Royal Irish Academy. Section A: Mathematical and Physical Sciences (Vol. 56, pp. 23-35)*. Royal Irish Academy. (условия устойчивости волчка + применительно к тип-топу)
- [6] Карапетян А.В., Рубановский В.Н. Об устойчивости стационарных движений неконсервативных механических систем // *Прикладная математика и механика*, 1986, т. 50, вып. 1, с. 43-49
- [7] Карапетян А.В., Рубановский В.Н. О бифуркации и устойчивости стационарных движений волчка на горизонтальной плоскости с трением // В сб.: *Задачи исследования устойчивости и стабилизации движения*. М.: ВЦ АН СССР, 1986, с. 11-18
- [8] Карапетян, А.В. Глобальный качественный анализ динамики китайского волчка (тип-топ) // *МТТ*, 2008, вып. 3, с. 33-41
- [9] Vou-Rabee, N. M., Marsden, J. E., Romero, L. A. (2004). Tippe top inversion as a dissipation-induced instability. *SIAM Journal on Applied Dynamical Systems*, 3(3), 352-377.
- [10] Glad S.T., Petersson D., Rauh-Wojciechowski S. Phase Space of Rolling Solutions of the Tippe Top // *SIGMA*, 2007, vol. 3, 041, 14 p. (поверхность регулярных прецессий для неголономного случая - чистых качений)
- [11] Rauch-Wojciechowski S., Skoeldstam M., Glad T., *Mathematical analysis of the tippe top*, *Regular and Chaotic Dynamics*, 2005, vol. 10, no. 4, pp. 333-362
- [12] Ciocci M., Langerock B., *Dynamics of the Tippe Top via Routhian Reduction*, *Regular and Chaotic Dynamics*, 2007, vol. 12, no. 6, pp. 602-614

- [13] Jellett J. H., A Treatise on the Theory of Friction. Hodges, Foster, 1872.
- [14] Moffatt, H. K., Shimomura, Y. (2002). Spinning eggs — a paradox resolved. *Nature*, 416(6879), 385-386.
- [15] Rauch-Wojciechowski S., Przybylska M., On Dynamics of Jellett's Egg. *Asymptotic Solutions Revisited, Regular and Chaotic Dynamics*, 2020, vol. 25, no. 1, pp. 40-58
- [16] Borisov A. V., Mamaev I. S., *Symmetries and Reduction in Nonholonomic Mechanics, Regular and Chaotic Dynamics*, 2015, vol. 20, no. 5, pp. 553-604
- [17] Korn, Granino Arthur, and Theresa M. Korn. *Mathematical handbook for scientists and engineers: definitions, theorems, and formulas for reference and review*. Courier Corporation, 2000.
- [18] Leine, R. I. (2009). Experimental and theoretical investigation of the energy dissipation of a rolling disk during its final stage of motion. *Archive of Applied Mechanics*, 79(11), 1063-1082. (разные модели трения — качение диска)
- [19] Borisov A. V., Kilin A. A., Karavaev Y. L., Retrograde motion of a rolling disk, *Physics-Uspexhi*, 2017, vol. 60, no. 9, pp. 931-934
- [20] Karavaev Y. L., Kilin A. A., Klekovkin A. V., The dynamical model of the rolling friction of spherical bodies on a plane without slipping, *Russian Journal of Nonlinear Dynamics*, 2017, vol. 13, no. 4, pp. 599-609
- [21] Чаплыгин С. А. О некотором возможном обобщении теоремы площадей с применением к задаче о катании шаров // *Собр. соч.: Т. 1 / С. А. Чаплыгин. М.ЦЛ.: ГИТТЛ, 1948. С. 26-56.*
- [22] Borisov A. V., Mamaev I. S., Two Non-holonomic Integrable Problems Tracing Back to Chaplygin, *Regular and Chaotic Dynamics*, 2012, vol. 17, no. 2, pp. 191-198